

ارزیابی عددی اثر نسبت آهنگ دبی جرمی هوا و آب بر عملکرد برج خنک کن دریایی تبخیری

دانشجوی دکتری، دانشکده مهندسی مکانیک، دانشگاه صنعتی بابل، بابل، ایران

استاد، دانشکده مهندسی مکانیک، دانشگاه صنعتی بابل، بابل، ایران

دکتری تخصصی، دانشکده مهندسی دریا، دانشگاه صنعتی امیرکبیر، تهران، ایران

* مهدی محمودی

مفید گرجی بندپی

رویا شادمانی

چکیده

در این مقاله، اثر پارامتر متغیر نسبت دبی جرمی آب به هوا بر مشخصه‌های عملکردی برج خنک کن دریایی تبخیری جریان مخالف به صورت عددی بررسی و نتایج حل عددی با داده‌های آزمایشگاهی اعتبارسنجی گردید. آهنگ کلی انتقال گرما از بالا به پایین برج خنک کن برای نسبت دبی‌های کمتر از یک با افزایش حجم برج کاهش و برای نسبت‌های بزرگ‌تر از یک، افزایش می‌یابد. آهنگ انتقال گرما جابجایی قسمت اعظم انتقال گرما کلی را برای نسبت دبی‌های کمتر از یک شامل شده و با کاهش نسبت دبی، کاهش می‌یابد. مولفه انتقال گرما تبخیری با کاهش نسبت دبی، افزایش می‌یابد. با افزایش نسبت دبی، حجم مورد نیاز برای سرمایش آب افزایش می‌یابد. در آب و هوای مطروب با افزایش نسبت دبی، افزایش می‌یابد. دمای آب خروجی با افزایش دبی جرمی آب، افزایش و با کاهش فشار محیط، کاهش می‌یابد. ضریب اثر برج با افزایش نسبت دبی افزایش ولی آهنگ تغییر آن کاهش یافته. نسبت دمای برج با افزایش نسبت دبی یا افزایش فشار محیط، کاهش می‌یابد که با کم شدن این نسبت، این کاهش با سرعت بیشتری رخ می‌دهد.

واژه‌های کلیدی: ارزیابی عددی، برج خنک کن دریایی، نسبت دبی جرمی، هوا و آب، اثرات تبخیری.

Numerical Evaluation of Air and Water Mass Flow Rate Ratio on Evaporative Seawater Cooling Tower Performance

M. Mahmoodi

Faculty of Mechanical Engineering, Babol University of Technology, Babol, Iran

M. Gorji Bandpy

Faculty of Mechanical Engineering, Babol University of Technology, Babol, Iran

R. Shademaní

Faculty of Maritime Engineering, Amirkabir University of Technology, Tehran, Iran

Abstract

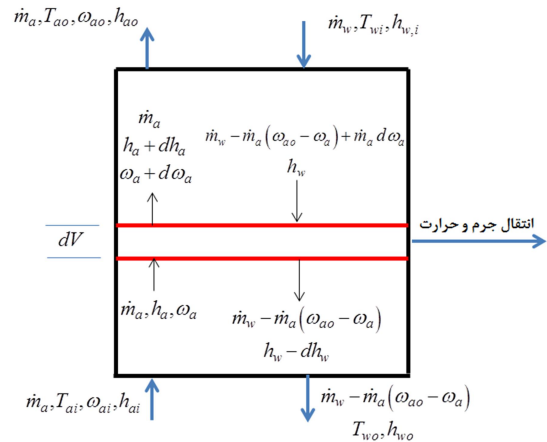
In this paper, the effect of mass flow ratio of water to air on seawater cooling tower performance was numerically investigated. The numerical results were validated by experimental data. For mass flow ratio under one, the total heat transfer coefficient is decreased by increase of tower volume from top to bottom but for mass flow ratio above one, it is increased. For mass flow ratio under one, the most part of total heat transfer coefficient value is due to the convection heat transfer coefficient. The convection heat transfer coefficient was decreased by mass flow ratio reduction. The evaporative heat transfer coefficient was increased by mass flow ratio reduction. The required tower volume for water cooling is increased by increase of mass flow ratio. The tower volume was increased to high value in humid weather conditions. The outlet water temperature was increased by increase of mass flow ratio or atmospheric pressure reduction. By increase of mass flow ratio, the effectiveness was increased but the variation rate of the effectiveness was decreased. By increase of mass flow ratio or reduction of atmosphere pressure, the tower temperature ratio was decreased and consequently, the variation rate of it was increased.

Keywords: Numerical Evaluation, Seawater Cooling Tower, Mass Flow Rate Ratio, Air and Water, Evaporative Effects.

محیط، شرایط هوا و ورودی و نسبت دبی جرمی آب به هوا بر مشخصه‌های عملکردی برج مثل کارایی بررسی شده است. این بررسی-ها جهت انجام محاسبه‌های مربوط به آهنگ گذاری و تعیین حجم برج ضروری می‌باشد. مجموعه گسترهای از منحنی‌های طراحی برج بر اساس تئوری مرکل فراهم شده است [۱]. سادرلن [۲] تحلیل پیچیده‌تری را برای برج خنک کن بدون استفاده از فرض‌های مرکل انجام داد و ادعا کرد که حجم برج می‌تواند بین ۵٪ تا ۱۵٪ کوچکتر شود. فریشی [۳] نشان داد که هیچ یک از تحلیلهای موجود برای محاسبه خطای مرکل راضی کننده نیستند. سیمپسون و شرود [۴] داده‌های آزمایشگاهی شش نوع ماده متفاوت برای هسته در برج‌های خنک کن با جریان مخالف را منتشر کردند. جهت تمیز، در زیرنویس کمیت‌های ورودی i و خروجی o اضافه شده است.

۱- مقدمه

یک برج خنک کن دریایی تبخیری نواحی سه‌گانه اسپری، هسته و باران تشکیل را شامل می‌شود. حتی در برج‌های خنک کن بزرگ نیز که بخش قابل توجهی از انتقال گرما کلی در نواحی اسپری و باران رخ می‌دهد، از ورود این نواحی به حل عددی جسم پوشی می‌شود. در این مقاله سعی شده است تا اثر این نواحی در پدیده‌های انتقال گرم و گرما در برج‌های خنک کن دریایی تبخیری با جریان مخالف مورد تجزیه و تحلیل قرار گیرد (شکل ۱). مدل‌های ریاضی معتبر برای هر سه ناحیه از برج با جریان مخالف به منظور شبیه‌سازی عددی و بررسی عملکرد گرمایی آن ارایه شده است. مدل‌های یک بعدی، معادلات مربوط به انتقال گرم و گرم، خواص ترمودینامیکی مخلوط هوا و بخار آب، خواص آب و بخار آب، کارایی، راندمان گرمای برای بررسی مشخصه‌های عملکردی برج به کار برده شده است. به منظور بررسی اثر فشار



شکل ۱ - حجم کنترل برای موازنۀ جرم و انرژی برج خنک کن تبخیری
با جریان مخالف

ارائه شده توسط آن‌ها دارای سرعت بالاتری در حل عددی بوده و خطایی در حدود ۵ درصد را نتیجه می‌دهد. هدف اصلی این مقاله، علاوه بر ارایه مدل ریاضی دقیق‌تر، ارایه نرم‌افزاری عددی با نتایجی منطبق بر داده‌های آزمایشگاهی معتبر به منظور بررسی اثر نسبت دی جرمی در عملکرد برج‌های خنک‌کن دریایی تبخیری است.

۲- معادلات حاکم و شرایط مرزی

برج خنک کن تبخیری جریان مخالف را به عنوان حجم کنترل در نظر می‌گیریم. فرض‌های به کار رفته برای استخراج معادله‌های مدل-سازی برج به طور خلاصه در ادامه آمده است:

- ۱- انتقال جرم و گرما فقط در راستای عمود بر جریان‌ها می‌باشد.
- ۲- انتقال جرم و گرما از طریق دیواره‌های برج به محیط پیرامون ناچیز در نظر گرفته می‌شود.
- ۳- انتقال گرما از فن‌های برج به هوا و جریان آب ناچیز در نظر گرفته می‌شود.
- ۴- ضریب انتقال جرم و گرما در سراسر این ناحیه از برج ثابت است.
- ۵- توزیع دمای آب در هر سطح مقطع یکنواخت است.
- ۶- برج دارای سطح مقطع ثابت می‌باشد.
- ۷- حجم برج در هر یک از نواحی سه‌گانه برج با هم‌دیگر برابر است.
- ۸- از افت فشارهای جریانی صرف‌نظر شده است.^[۹]

۲-۱- ناحیه هسته

۲-۱-۱- معادله انتقال جرم

موازنۀ جرم بخار آب ورودی به هوا در حالت پایا با معادله (۱) بیان می‌گردد^[۷].

$$\dot{m}_a \omega + h_D A_v dV (\omega_s - \omega) = \dot{m}_a \left[\omega + \left(\frac{\partial \omega}{\partial V} \right) dV \right] \quad (1)$$

پس از ساده‌سازی معادله قبل و اعمال فرضیات، معادله (۲) به دست می‌آید که ω_s نسبت رطوبت هوای مرطوب اشباع شده در دمای قطره آب T_w است. قابل توجه است که در معادلات این بخش، اندیس a از (۱) از مشخصه‌های هوا به منظور خلاصه‌نویسی حذف شده است.

$$\dot{m}_a d\omega = h_D A_v dV (\omega_s - \omega) \quad (2)$$

۲-۱-۲- معادله‌های موازنۀ انرژی

موازنۀ انرژی جریان هوای مرطوب را می‌توان به صورت معادله (۳) بیان نمود^[۷]:

$$\dot{m}_a h_a + h_D A_v h_{fg} dV (\omega_s - \omega) + h_C A_v dV (T_w - T_a) = \dot{m}_a (h_a + (\partial h_a / \partial V) dV) \quad (3)$$

پس از ساده‌سازی، معادله (۳) به معادله (۴) تبدیل می‌شود:

$$\dot{m}_a dh_a = h_D A_v h_{fg} dV (\omega_s - \omega) + h_C A_v dV (T_w - T_a) \quad (4)$$

موازنۀ انرژی جریان آب با معادله (۵) محاسبه می‌گردد. پس از ساده‌سازی معادله (۵) با استفاده از معادله (۴) و قرار دادن فاکتور لوپیس

کامارگو و اینوما^[۵]. توسعه ریاضی معادلات حاکم بر سیستم‌های سرمایش تبخیری مستقیم و غیرمستقیم را ارائه کردند. هادر و لوی^[۶] تاثیر شکل غیرکروی قطره‌های آب را بر روی جریان، انتقال جرم و گرما در یک برج تبخیری طبیعی بررسی کردند. فیزنسکو^[۷] مدلی ریاضی به منظور توصیف سرمایش تبخیری قطره‌های آب ارایه داد. فیزنسکو^[۸] اعتقاد داشت که یک اندازه‌گیری آزمایشی می‌تواند برای تخمین قطر موثر قطره‌ها انجام شده و مدلی یکسان به منظور ارزیابی هر دو ناحیه اسپری و باران استفاده گردد. فرشی و زبیر^[۹] مدلی کامل از برج خنک کن تبخیری با در نظر گرفتن حالت فرسایش در هسته برج ارایه کردند. مطالعات متعددی بر مبنای مدل فیزنسکو در زمینه برج‌های خنک کن دریایی بدون دخالت معادلات نواحی اسپری و باران در حل عددی انجام شده است^[۱۰-۱۴].

کیو و همکاران^[۱۵] مدل توزیع مقاومت گرمایی یک بعدی را برای برج خنک مرطوب ارائه کردند. آن‌ها به صورت آزمایشگاهی و حل عددی نشان دادند که در صورت وجود انتقال گرما جابجایی طبیعی، مقاومت گرمایی کلی به شدت تحت تاثیر قرار گرفته و آهنگ تلفات گرمایی محدود می‌شود و با افزایش سرعت جریان هوای عبوری آهنگ اتلاف گرمایی را برای جریان آب افزایش داد. ابراهیمی و محمودی^[۱۶] اثر ضریب لوپیس بر مشخصه‌های عملکردی برج خنک کن را بر عملکرد برج خنک کن مرطوب بررسی کردند. آن‌ها نشان دادند که افزایش ضریب لوپیس سبب کاهش دمای آب خروجی و خروجی و آهنگ دفع گرما از حالت خشک اشباع برای دو دمای خشک هوای ورودی ۱۰ و ۴۰ درجه سلسیوس نمودند. آن‌ها نشان دادند که افزایش دمای هوای خروجی می‌گردد. لی و همکاران^[۱۷] به صورت عددی اثر میزان غیر یکنواخت‌های متفاوت توزیع آب پاششی از نازل‌ها را بر عملکرد برج خنک کن مرطوب بررسی کردند. آن‌ها نشان دادند که با توزیع مناسب آب پاشش شده در ناحیه اسپری، می‌توان سبب کاهش بیشتر دمای آب در خروج از برج خنک کن شد. محمودی و ابراهیمی^[۱۸] و نشان دادند که با افزایش آهنگ دبی جرمی آب ورودی به برج خنک کن مرطوب، آهنگ تلفات آب کاهش و دمای آب خروجی از برج افزایش می‌یابد. کی و همکاران^[۲۰] نشان دادند که با افزایش قطر قطره‌ها در ناحیه اسپری، راندمان برج خنک کن کاهش می‌یابد. مدل

در هسته می‌گردد. قابل ذکر است که بیش از ۱۵٪ از سرمایش تبخیری در ناحیه اسپری رخ می‌دهد و قطرهای سبکتر با قطر کمتر از ۰/۳ میلی‌متر توسط هوا به طرف قطرهای بزرگتر به سمت هسته باز می‌آنها جمع‌آوری و در قالب قطرهای بزرگتر به سمت هسته باز می‌گردند [۵]. ارتفاع رابج از نازل تا قسمت بالایی هسته بدون در نظر گرفتن ظرفیت برج حدود ۴/۵ متر است [۲۱]. این ارتفاع برای توسعه الگوی اسپری مورد نیاز می‌باشد. با افزایش تعداد نازل‌های کوچکتر، این ارتفاع قابل کاهش است. سرمایش تبخیری به دست آمده در یک فوت از هسته بیشتر از سرمایش تبخیری در ۵ فوت سقوط آزاد آب است [۲۲]. ناحیه باران دارای تاثیر کمتری بوده و از آن برای عبور یکنواخت هوا استفاده می‌شود. اگرچه بخش مهمی از انتقال جرم و گرما در برج‌های تبخیری جریان مخالف بزرگ در ناحیه باران اتفاق می‌افتد اما به این ناحیه در برج‌های کوچک اهمیت داده نمی‌شود.

در این مقاله، مدل ارایه شده توسط فیرنکو [۱۲] برای مدل‌سازی هر دو ناحیه اسپری و باران مورد استفاده قرار گرفته است. در این مدل، سرعت هوای مرطوب بالارونده v_a با استفاده از ابعاد برج محاسبه می‌شود [۱۲]. دخالت سرمایش تبخیری قطرهای در موازنۀ گرمایی برج به طور عمده به شعاع آن‌ها بستگی دارد. شعاع قطرهای در ناحیه اسپری به دیجی گرمی و دمای آب وابسته است. افزایش دیجی گرمی آب سبب افت فشار بزرگتر در نازل‌ها و در نتیجه تولید قطرهای کوچکتر می‌گردد. دمای آب بر کشش سطحی قطرهای تاثیر گذار است. بیشینه شعاع قطره با سرعت سقوط v_d ، از موازنۀ دو نیروی پسا و کشش سطحی با استفاده از سرعت جریان هوای بالارونده v_a محاسبه می‌گردد. با استفاده از همین موازنۀ قادر خواهیم بود تا کمینه شعاع قطره در حال سقوط را در فرآیند سرمایش تبخیری تخمین زنیم. مبدأ مختصات در نقطه شروع سقوط قطره با محور Z رو به پایین در نظر گرفته می‌شود. با توجه به توزیع اندازه‌ای چند قطري حاکم بر قطرهای در حالت واقعی، به منظور شبیه‌سازی از توزیع اندازه‌ای تک قطري استفاده می‌کنیم و قطر به کار گرفته شده برای شبیه‌سازی را قطر موثر می‌نامیم. تعداد قطرهای در واحد حجم N_v با سرعت جرمی آب و اندازه قطر موثر قطره قابل تعریف است و تاثیر آن روی پارامترهای هوای مرطوب با معادله (۱۳) بیان می‌شود.

$$N_v = 6 G_w / \pi d^3 \rho_w v_d \quad (13)$$

مقدار N_v با افزایش سرعت قطرهای برای سرعت جرمی ثابت آب کاهش می‌یابد. بارهای هیدرولیکی در برج‌های خنک‌کن تبخیری مکانیکی سبب می‌شوند تا فاصله متوسط بین قطرهای بزرگتر از قطر آنها باشد و با توجه به این نکته می‌توان ضریب‌های انتقال جرم و گرما در مدل ریاضی برای یک قطره را به کار برد. عدد رینولدز با استفاده از معادله (۱۴) تعیین می‌گردد.

$$Re = \rho_a \sqrt{(v_a - v_{dz})^2 + v_{dx}^2} d / \mu_a \quad (14)$$

مولفه افقی سرعت سقوط قطرهای v_{dx} بر عدد رینولدز و در نتیجه بر ضریب انتقال جرم و گرما اثر می‌گذارد و مقدار آن با توجه به طراحی نازل‌ها در ناحیه اسپری مشخص می‌شود. گیلینند [۲۳] برای ضریب پخش در مخلوط بخار آب و هوا معادله نیمه تجربی زیر را ارایه داد.

$$D = 3.944 \times 10^4 T_a^{1.5} / P_a \quad (15)$$

$$\left[\dot{m}_w + \left(\frac{\partial \dot{m}_w}{\partial V} \right) dV \right] \left[h_w + \left(\frac{\partial h_w}{\partial V} \right) dV \right] = \dot{m}_w h_w \quad (5)$$

$$+ h_D A_V h_{fg} (\omega_s - \omega) dV + h_C A_V (T_w - T_a) dV \quad (6)$$

و نیز فرض ثابت بودن گرمای ویژه، معادله (۶) به دست می‌آید.

$$\frac{dh_a}{d\omega} = Le_f \frac{h_s - h_a}{\omega_s - \omega} + h_{fg} - Le_f h_v^0 \quad (6)$$

باید دقت نمود که \dot{m}_w دیجی جریان آب در هر ارتفاع از برج است. معمولاً کاهش در دیجی جریان آب در طول پایین آمدن آن به علت کوچک بودن درصد آن در کل، در نظر گرفته نمی‌شود [۲] ولی در مقاله حاضر برای دقت بیشتر، این تلفات را در نظر می‌گیریم. لذا با تصحیح معادله (۶) داریم:

$$\frac{dh_w}{d\omega} = \frac{\dot{m}_a}{\dot{m}_{wi} - \dot{m}_a (\omega_o - \omega)} \times \left(Le_f \frac{h_s - h_a}{\omega_s - \omega} + h_{fg} - Le_f h_v^0 - h_w \right) \quad (7)$$

با توجه به معادله $\Delta h_w = c_w \Delta T_w$ ، معادله (۸) برای تعیین توزیع دمای آب مورد استفاده قرار می‌گیرد:

$$dT_w = \frac{1}{c_w} \frac{\dot{m}_a (dh_a - h_w d\omega)}{\dot{m}_w - \dot{m}_a (\omega_o - \omega)} \quad (8)$$

معادلات (۲)، (۷) و (۸) برای شبیه‌سازی عددی هسته برج به کار رفته است. ضریب مجھول انتقال جرم اغلب با معادله (۹) تعیین می‌شود.

$$h_D A_V V / \dot{m}_{wi} = c (\dot{m}_{wi} / \dot{m}_a)^n \quad (9)$$

ضرایب ثابت c و n به طور تجربی برای طراحی برج مورد استفاده قرار می‌گیرند [۴]. با توجه به تعریف تعداد واحد انتقال NTU، مقدار تجربی این پارامتر به صورت معادله (۱۰) در می‌آید:

$$NTU = h_D A_V V / \dot{m}_a = c (\dot{m}_{wi} / \dot{m}_a)^{n+1} \quad (10)$$

ضریب اثر^۱ برج به صورت نسبت تبادل انرژی واقعی به حداکثر انتقال انرژی ممکن تعريف می‌گردد:

$$\epsilon = (h_{ao} - h_{ai}) / (h_{sao} - h_{ai}) \quad (11)$$

نسبت دما یا اختلاف دمای بدون بعد یا راندمان گرمایی برج به صورت نسبت افت دمای واقعی آب به حداکثر افت دمای آب تا رسیدن به دمای تر محیط تعريف می‌شود.

$$R_{ct} = (T_{wi} - T_{wo}) / (T_{wi} - T_{wbi}) \quad (12)$$

۲-۲- نواحی اسپری و باران

آرایش نازل‌ها طوری در نظر گرفته می‌شود که توزیع آب ورودی به هسته یکنواخت باشد. دمای آب به علت انتقال جرم (تبخیر) و انتقال گرما جابجایی کاهش می‌یابد. در صورتی که آنتالپی هوا در حال صعود، به دلیل گرم شدن و اشباع شدن از بخار آب افزایش می‌یابد. گرمایی انتقال یافته از قطرهای ناحیه اسپری به هوا سبب افزایش سرعت جابجایی جریان هوا در برج و افزایش شدت سرمایش تبخیری

^۱ Effectiveness

عدد اشمیت برای هوا عبارت است از:

$$Sc_a = \mu_a / \rho_a D \quad (16)$$

مارشال و رنز [۲۴] معادله نیمه تجربی برای عدد شرود در محدوده $2 \leq Re \leq 800$ را پیشنهاد نمودند. کلیف [۲۵] برای عدد رینولز تا 10^5 . معادله زیر را ارایه کرد.

$$Sh = 1 + \frac{(0.44 Re^{0.5} + 0.031 Re^{0.71})}{(Sc_a + Re^{-1})^{-1/3}} \quad (17)$$

برای یک قطره در حال سقوط در یک جریان هوا بالارونده، ضریب انتقال جرم h_D به صورت زیر بیان می‌گردد.

$$h_D = D \cdot Sh / d \quad (18)$$

نسبت رطوبت در سطح قطره با معادله (۱۹) محاسبه می‌گردد.

$$\omega_d = (0.622 \varphi_a p_{vd}) / (p_a - \varphi_a p_{vd}) \quad (19)$$

پارامتر P_{vd} فشار بخار در دمای قطره است. کروگر [۲۶] در مورد ضریب انتقال جرم برای آب در معرض جریان هوا معادله (۲۰) را پیشنهاد کرد. با معلوم بودن ضریب انتقال جرم، میزان انتقال جرم از قطره به هوا با استفاده از تفاوت نسبت رطوبت سطح قطره و نسبت رطوبت مخلوط هوا و آب قابل محاسبه است. اطلاعات حرکت ذره در قالب ضریب پسا بر اساس عدد رینولز برابر است با:

$$h_d = \frac{2 h_D p_a}{461.5 (\omega_d - \omega_a) (T_d + T_a)} \times ((\omega_d / \omega_d + 0.622) - (\omega_a / \omega_a + 0.622)) \quad (20)$$

برای قطره‌های کروی، منحنی ضریب پسا تا عدد رینولز 10^6 توسط محققان متعددی به صورت آزمایشگاهی رسم شده است. برای محدوده رینولزهای پایین، جریان لزجی پیرامون کره وجود دارد که ضریب پسای آن از قانون استوکس قابل تقریب است. برای محدوده رینولزهای بالا، ضریب پسا دارای مقدار تقریباً ثابتی در حدود 0.44 بوده که به قانون نیوتون معروف است. این دو ناحیه توسط ناحیه گدرا به هم متصل می‌گردند. روابط متعددی برای ضرایب پسا مرتبط با اجسام کروی در محدوده وسیعی از عده‌های رینولز ارایه شده است. تورتن و لونسپیل [۲۷] معادله زیر را برای ضریب پسا قطره کروی برای عدد رینولز کمتر از 2×10^5 پیشنهاد کردند.

$$C_D = \frac{24}{Re^{0.343}} + \frac{4.152}{Re^{1.09}} + \frac{0.413}{1 + 16300 Re^{-1.09}} \quad (21)$$

نخستین جمله بیانگر قانون استوکس، جمله دوم، ناحیه گذار و جمله سوم، ناحیه مرتبط با عده‌های رینولز بالا را توصیف می‌نماید. با تکیه بر داده‌های آزمایشگاهی، کلیفت [۲۵] معادلات متفاوتی را برای محدوده‌ای از عده‌های رینولز برای اجسام کروی ارایه نمود.

برای حل نواحی اسپری و باران باید دستگاه شش‌گانه معادلات دیفرانسیلی ناشی از موازنیه جرم و گرما برای جریان هوا و قطره‌های آب مد نظر قرار بگیرند.

$$\frac{dR(z)}{dz} = h_d(z) \frac{\omega(z) - \omega_s(T_d(z))}{\rho_w v_d(z)} \quad (22)$$

$$\frac{dv_d(z)}{dz} = \frac{g}{v_d(z)} - C_D \frac{\pi \rho_a d^2(z)}{8 m_d v_d(z)} (v_d(z) - v_a)^2 \quad (23)$$

$$\frac{dv_d(x)}{dz} = C_D \frac{\pi \rho_a d^2(z)}{8 m_d v_d(z)} v_d^2(x) \quad (24)$$

$$\frac{dT_d(z)}{dz} = \frac{h_c(z)(T_d(z) - T_a(z)) + h_d(z)h_{fg}(\omega_s - \omega)}{-\rho_w c_w d(z) v_d(z)/6} \quad (25)$$

$$\frac{dT_a(z)}{dz} = \frac{\pi d^2(z) N_V h_c(z)}{\rho_a C_{p,a}} \frac{T_a(z) - T_d(z)}{v_d(z) - v_a} \quad (26)$$

$$\frac{d\omega(z)}{dz} = \frac{\pi d^2(z) N_V h_d(z)}{\rho_a} \frac{\omega_s(T_d(z)) - \omega(z)}{v_a - v_d(z)} \quad (27)$$

برای حل مجموعه معادله‌های دیفرانسیلی بالا، نیاز به شرایط مرزی داریم که عبارتند از: مقدار اولیه شاعع، دما و سرعت قطره‌ها در شروع سقوط آن‌ها که در نواحی اسپری و باران که تعیین کننده شرط‌های مرزی ورودی می‌باشند.

$$R|_{z=0} = R_i \quad T_d|_{z=0} = T_{di}$$

$$v_{dx}|_{z=0} = v_{dxi} \quad v_{dz}|_{z=0} = v_{dzi}$$

دما و نسبت رطوبت هوا در انتهای نواحی اسپری و باران که تعیین کننده شرایط مرزی خروجی می‌باشند.

$$T_a|_{z=H} = T_{ao} \quad \omega|_{z=H} = \omega_o$$

دستگاه معادله‌های دیفرانسیلی ارائه شده به کمک شرایط مرزی بالا قابل حل می‌باشد. فیزنکو و همکاران [۶] توضیح دادند، می‌توان پدیده انتقال جرم و گرما در ناحیه باران را نیز با همین مدل ریاضی ولی با شاعع اولیه دیگری توصیف نمود. قطر قطره‌ها در ناحیه باران به نسبت بزرگ بوده و بخش قابل توجهی از جریان آب در این ناحیه به صورت جت به پایین سقوط می‌کند. قطر قطره‌ها در این ناحیه ممکن است چندین برابر قطر قطره‌ها در ناحیه اسپری باشد. فیزنکو و همکاران [۷] از سرمایش تبخیری آب در ناحیه باران صرف نظر کرده‌اند. در این مدل به جای جریان‌های پیچیده شامل جت و قطره در یک برج خنک‌کن، گروهی از قطره‌ها با اندازه یکسان به کار رفته است.

۳- الگوریتم حل عددی و اعتبارسنجی

سه برنامه عددی برای شبیه‌سازی سه ناحیه اسپری، هسته خنک کننده و باران از برج خنک‌کن با جریان مخالف به زبان برنامه‌نویسی فرترن نوشته و اجرا شده است. برنامه نخست برای مدل‌سازی ناحیه‌های اسپری و هسته خنک کننده، برنامه دوم برای مدل‌سازی ناحیه‌های اسپری و هسته خنک کننده و برنامه سوم برای مدل‌سازی ناحیه‌های اسپری و هسته خنک کننده و باران نوشته شده است. برنامه‌ها برای حالت‌های متفاوت با استفاده از اطلاعات ورودی مناسب اجرا گردیده و خروجی برنامه‌ها با نتایج آزمایشگاهی ω_i , h_i , v_d مقایسه شده است. ناحیه‌های سه‌گانه برج به المان‌هایی با فاصله‌های مساوی تقسیم شده است (شکل ۲).

های عددی حدود ۱/۶۵٪ است که به روش معادله (۲۸) محاسبه گردیده است. دمای خشک هوای خروجی با بیشینه خطای ۰/۳۶٪ با نتیجه‌های آزمایشگاهی ارایه شده تطابق دارد.

$$(28) \quad \text{داده آزمایشگاه / حل عددی - داده آزمایشگاه} = \text{درصد خطا}$$

دمای تر محاسبه شده برای هوای خروجی از برج $T_{wb,o}$ در مقایسه با دمای محاسبه شده توسط خان و همکاران [۲۸] که از ناحیه اسپری و باران صرف‌نظر کرده بودند، به نتایج آزمایشگاهی نزدیکتر است. با توجه به مطالعه ذکر شده در بالا، مدل به کار رفته برای شبیه‌سازی هسته خنک کننده در این مقاله، دارای نتایج قابل اعتمادتری است.

$$(29) \quad \Omega(T_a|_{z=H}, T_{wb}|_{z=H}) =$$

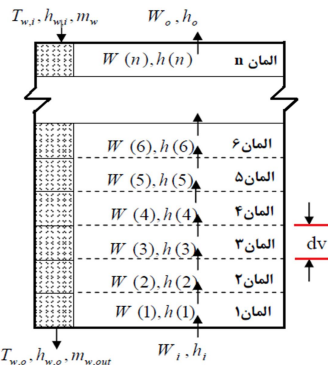
$$\sqrt{\left(\frac{T_a(H) - T_a|_{z=H}}{T_a|_{z=H}}\right)^2 + \left(\frac{T_{wb}(H) - T_{wb}|_{z=H}}{T_{wb}|_{z=H}}\right)^2}$$

۲-۳-۱- اعتبارسنجی مدل اسپری و باران

مدل توسعه یافته توسط فیزنوکو برای ناحیه اسپری و باران به طور جدآگانه با نتایج آزمایشگاهی ارایه شده توسط لوز [۲۱] اعتبارسنجی شده است. دای [۲۹] ادعا کرد که تنها مطالعه آزمایشگاهی قابل اعتماد برای تعیین سرعت قطره توسط لوز منتشر شده است. نتایج شکل ۳ نشان می‌دهد که مقدارهای آزمایشگاهی و عددی برای آزمایش با دو قطره قطره از تطابق خوبی پرخوردار می‌باشند. قریشی و زبیر [۹] خطای محاسباتی را حدود ۰/۲۵٪ و دای [۲۹] آن را حدود ۰/۳٪ بدست آوردنده ولی مدل حاضر این خطای را حدود ۱/۱۵٪ محاسبه شده است.

۲-۳-۲- اعتبارسنجی مدل اسپری، هسته و باران

مدل کامل برج خنک کن شامل هر سه ناحیه اسپری، هسته و باران با فرض افت فشار ناچیز می‌باشد. این مدل ترکیبی کامل با نتیجه‌های آزمایشگاهی سیمپسون و شرود [۴] برای برج خنک کن با ابعاد کوچک اعتبارسنجی شده که جدول ۲ این مقایسه را به نمایش در آورده است. نتایج به دست آمده از شبیه‌سازی مدل کامل برای برج خنک کن در پیش‌بینی دمای تر هوای خروجی در مقایسه با مقادیر به دست آمده از شبیه‌سازی مدل هسته، ببینو یافته است. دارای خطای کمتری می‌باشند. خشک هوای خروجی با بیشینه خطای ۰/۴۳٪ با داده‌های آزمایشگاهی ذکر شده، تطابق دارد. برای ارایه اعتبارسنجی دقیق و کامل نیاز است تا حجم پیش‌بینی شده برای برج خنک کن را با مقدار



شکل ۲- نحوه المان‌بندی برج خنک کن تبخیری با جریان مخالف

مدل‌سازی برج خنک کن یک بعدی بوده و تنها در راستای ارتفاع برج المان‌بندی صورت می‌پذیرد. معادله‌های (۲)، (۷) و (۸) برای شبیه‌سازی عددی هسته برج و معادله‌های (۲۲) تا (۲۷) برای شبیه‌سازی عددی نواحی اسپری و باران به کار برد شده است. در اجرای برنامه نوشته شده، تعداد نقاط شبکه حل تا آنجا افزایش داده شد که نتایج مستقل از شبکه محاسباتی به دست آیند. برای مثال، برای تعداد صد هزار نقطه در شبکه در طول هسته خنک کننده، تغییر در نتیجه‌های خروجی همانند دما و رطوبت ناچیز می‌شود. دقت حل عددی با معیار باقیمانده Ω بررسی می‌گردد. پارامترهای $T_o(H)$ و $T_{wb}(H)$ نتایج حل عددی مجموعه معادلات مذکور برای هوا می‌باشند. با برقراری شرط $0.0001 < \Omega$ حل عددی به اتمام می‌رسد.

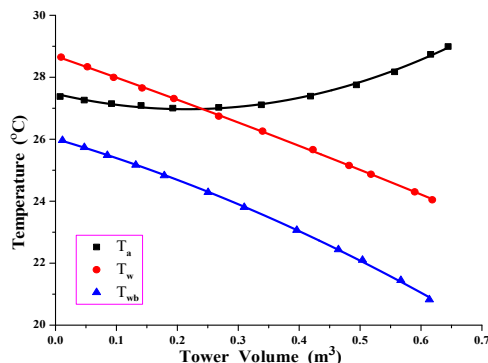
۳-۱- اعتبارسنجی مدل هسته

انتقال جرم و گرمای ناحیه اسپری با دستگاه معادلات دیفرانسیلی ذکر شده، قابل توصیف است و همین معادلات برای ناحیه باران نیز به کار برد شده است. برای مدل‌سازی انتقال جرم و گرمای در ناحیه هسته خنک کننده دستگاهی با سه معادله دیفرانسیلی استفاده شده است. این دستگاه معادلات پس از حل عددی با توجه به فرض‌های مطرح شده و فرض افت فشار ناچیز در هر سه ناحیه برج، با نتیجه‌های آزمایشگاهی مقایسه گردیده است. نتایج حاصل از محاسبات عددی برج خنک کن با داده‌های آزمایشگاهی سیمپسون و شرود [۴] که حاوی اطلاعاتی بسیار جامع در مورد اندازه‌گیری‌های آزمایشگاهی و تشریح فیزیکی از برج است، مورد اعتبارسنجی قرار گرفته است. جدول ۱ مقایسه بین نتایج حاصل از حل عددی و آزمایشگاهی را نشان می‌دهد. قابل مشاهده است که نتایج حاصل از حل عددی با مقادیر آزمایشگاهی موجود، دارای تطابق خوبی هستند. خطای میانگین ناشی از محاسبه-

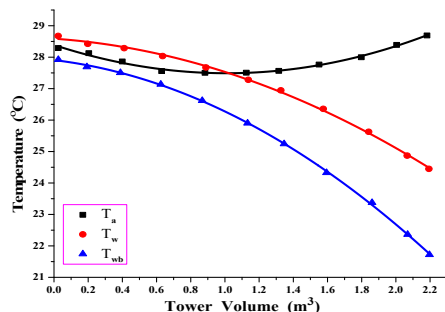
جدول ۱- نتایج عددی و داده‌های آزمایشگاهی برای دمای تر و خشک با استفاده از مدل هسته خنک کننده

m_a $kg s^{-1}$	m_{wi} $kg s^{-1}$	°C		ورودی خروجی	ورودی آزمایشگاهی		°C		خرسچه عددی		
		ورودی	خرسچه		دامای تر	دامای خشک	دامای تر	دامای خشک	دامای تر	دامای خشک	
					DAMAI	DAMAI	DAMAI	DAMAI	DAMAI	DAMAI	
۱/۱۵۸	۱/۲۵۹	۴۰/۵	۳۲/۵۶	۳۳/۶۷	۲۹/۴۴	۳۶	۳۶/۱۱	۳۵/۳۸	۲۵/۵۲		
۱/۱۶۰	۰/۸۸۱	۳۵	۲۸/۶۷	۳۴/۶۱	۲۶/۶۷	۳۰/۸۳	۳۱/۳۳	۳۰/۴۷	۳۰/۹۸		
۱/۱۸۷	۱/۲۵۹	۲۸/۷۲	۲۴/۲۲	۲۹	۲۱/۱۱	۲۶/۱۷	۲۶/۶۷	۲۶/۶۳	۲۷/۱		
۱/۲۶۵	۱/۰۰۸	۳۸/۷۸	۲۹/۳۳	۳۵	۲۶/۶۷	۳۲/۸۹	۳۳/۲۷	۳۳/۰۹	۳۳/۸۶		

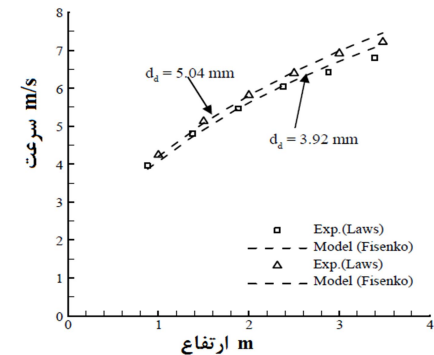
بالا، افزایش می‌یابد. در واقع، حجم برج از بالا به حدود ۰/۰۴۵ مترمکعب می‌رسد که در آن، دمای آب بیشتر از دمای خشک هوا است و انتقال گرما از آب به هوا (جابجایی مثبت) را در پی دارد ولی در قسمت بزرگتر برج، دمای آب کمتر از دمای خشک هوا است و منجر به انتقال گرما از هوا به آب (جابجایی منفی) می‌گردد. نقطه تلاقی منحنی‌های دمای خشک هوا و دمای آب، نشان دهنده عدم اختلاف این دو دمای می‌باشد که قادر انتقال گرمای جابجایی بین آب و هوا است. دمای تر هوا از پایین به بالا بطور پیوسته طبق انتظار ما در حال افزایش است. در شکل‌های ۵ و ۶، منحنی دمای آب و دمای خشک و تر هوا بر حسب حجم برج برای نسبت دبی‌های جرمی آب به هوای ۱/۱۵ نمایش داده شده است. در واقع با افزایش دبی جرمی آب به آب، حجم بیشتری از برج خنک کن برای کاهش دمای آب تا یک مقدار موردنظر نیاز است. از طرفی حجمی از برج که برای کاهش دمای خشک هوا و رویدی تا دمای آب (جابجایی منفی) لازم است نیز افزایش می‌یابد زیرا با حضور همان مقدار جریان هوا، میزان آب بیشتری در انتقال گرمای جابجایی شرکت می‌کند. آهنگ انتقال گرمای ناشی از تبخیر در برج خنک کن بسیار بیشتر از آهنگ انتقال گرمای جابجایی است. برای بررسی در مورد نحوه دخالت انتقال گرمای ناشی از تبخیر در یک برج خنک کن، حرکت قطره آب از بالا تا پایین برج خنک کن مورد توجه قرار می‌گیرد. در حالی که هوا برای خنک کردن آب به صورت اجرای از پایین برج در یک آرایش جریان مخالف وارد برج می‌گردد. آهنگ‌های انتقال گرمای ناشی از تبخیری جریان مخالف ناشی از جابجایی و تبخیر به ترتیب به صورت زیر است.



شکل ۵ - دمای تر و خشک هوا و آب با حجم برج (نسبت دبی ۱)



شکل ۶ - دمای تر و خشک هوا و آب با حجم برج (نسبت دبی ۱/۵)



شکل ۳ - اعتبارسنجی مدل ناحیه‌های اسپری و باران

علوم حقیقی آن در آزمایش مقایسه نماییم. این مقایسه، نخست برای مدل هسته خنک کننده و سپس برای مدل ناحیه‌های اسپری و هسته خنک کننده و در نهایت برای مدل کامل که هر سه ناحیه را در بر می‌گیرد، صورت می‌پذیرد. خطای محاسبه حجم برج برای هر سه مرحله به ترتیب ۱/۷٪، ۱/۲٪ و ۰/۵٪ به دست آمده است که نشان می‌دهد خطای پیش‌بینی حجم برج با اضافه شدن هر ناحیه به حل عددی برج خنک کن کاهش می‌یابد.

۴- بحث بر نتایج عددی

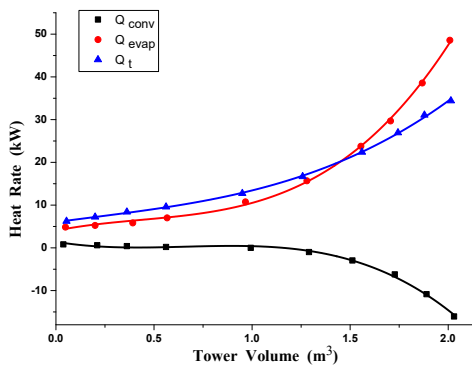
روش شبیه‌سازی مشخصه‌های عملکردی برج خنک کن دریابی تبخیری تشریح شد. داده‌های سیمپسون و شرود [۴]، $T_{ai} = ۲۹^{\circ}\text{C}$ ، $T_{wo} = ۲۴/۲۲^{\circ}\text{C}$ ، $T_{wi} = ۲۸/۲۲^{\circ}\text{C}$ ، $T_{wbi} = ۲۱/۱۱^{\circ}\text{C}$ جرمی هوا $\dot{m}_a = ۱/۱۸۷۲ \text{ kg/s}$ ، جهت اعتبارسنجی نتایج عددی به کار گرفته شد. سطح مقطع برج مقدار ثابت $1/8 \text{ متر مربع}$ و ارتفاع آن ۲/۷۵ متر است. ابتدا میزان کاهش دمای آب از برج خنک کن ثابت در نظر گرفته شده و ارتفاع لازم برای محقق شدن این میزان از انتقال گرمای مشخص و سپس تغییرات سایر کمیت‌های ترمودینامیکی در گذر از برج تعیین شد. دمای آب و دمای تر و خشک هوا بر حسب حجم برج برای نسبت دبی جرمی ۱/۵ در شکل ۴ رسم شده است.

شکل ۴ - دمای خشک و تر هوا و آب با حجم برج (نسبت دبی ۱/۵)

دمای آب در طی سقوط در حال کاهش است. با توجه به از دست دادن گرمای به دو روش انتقال گرمای جابجایی و گرمای نهان ناشی از تبخیر توسط قطره‌های آب، این موضوع مورد انتظار بود. دمای خشک مربوط به هوای ورودی از پایین برج، ابتدا کاهش و قبل از ترک کردن برج از

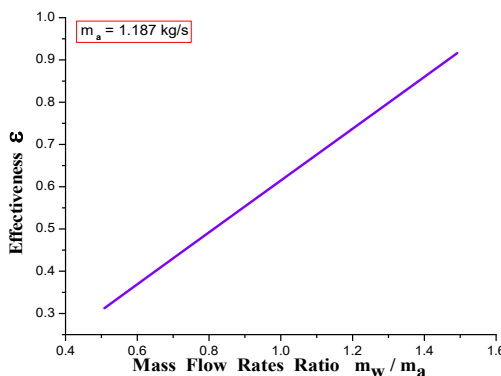
جدول ۲ - نتایج عددی و داده‌های آزمایشگاهی برای دمای تر و خشک با استفاده از مدل کامل برج

\dot{m}_a $kg s^{-1}$	\dot{m}_{wi} $kg s^{-1}$	°C		°C					
		دمای آب		ورودی آزمایشگاهی		خروجی آزمایشگاهی		خروجی عددی	
		ورودی	خرسچ	دمای خشک	دمای تر	دمای خشک	دمای تر	دمای خشک	دمای تر
۱/۱۵۸	۱/۲۵۹	۴۰/۵	۳۲/۵۶	۳۲/۶۷	۲۹/۴۴	۳۶	۳۶/۱۱	۳۵/۶۱	۳۵/۶۴
۱/۱۶۰	۰/۸۸۱	۳۵	۲۸/۶۷	۳۴/۶۱	۲۶/۶۷	۳۰/۸۳	۳۱/۳۳	۳۰/۷۷	۳۰/۸۱
۱/۱۸۷	۱/۲۵۹	۲۸/۷۲	۲۴/۲۲	۲۹	۲۱/۱۱	۲۶/۱۷	۲۶/۶۷	۲۶/۵۳	۲۷/۲۲
۱/۲۶۵	۱/۰۰۸	۲۸/۷۸	۲۹/۳۳	۳۵	۲۶/۶۷	۳۲/۸۹	۳۳/۲۷	۳۳	۳۳/۸۸



شکل ۹- تغییر آهنگ‌های انتقال گرما با حجم برج (نسبت دبی ۱/۵)

آهنگ انتقال گرمای تبخیری در ناحیه وقوع انتقال گرمای از هوا به آب، زیاد است. با کاهش نسبت دبی جرمی آهنگ انتقال گرمای جابجایی، کاهش می‌یابد. انتقال گرمای جابجایی در صد بالای از انتقال گرمای کلی را برای نسبت دبی‌های جرمی کمتر از یک، به ویژه در ناحیه انتقال گرمای جابجایی منفی در بر می‌گیرد. مولفه انتقال گرمای ناشی از تبخیر، همواره مثبت بوده و برای نسبت دبی‌های جرمی کمتر، افزایش می‌یابد. نسبت دبی جرمی آب به هوا در یک برج، فاکتور بسیار مهمی بوده و تمامی مشخصات عملکردی برج را تغییر می‌دهد. شکل‌های ۱۰ و ۱۱ تغییرات ضریب اثر و نسبت دما را در محدوده رایج نسبت دبی‌های جرمی آب به هوا به نمایش در آمده است.



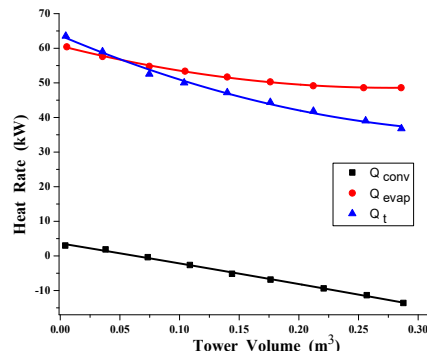
شکل ۱۰ - تغییرات ضریب اثر برج با نسبت دبی‌های جرمی مختلف

ضریب اثر برج خنک کن با افزایش نسبت دبی جرمی افزایش یافته و نسبت دمای برج با افزایش نسبت دبی جرمی کاهش می‌یابد. فرآیند هوا بر روی نمودار سایکرومتری برای نسبت دبی‌های جرمی متفاوت در

آهنگ‌های انتقال گرمای تبخیری \dot{Q}_{evap} ، انتقال گرمای جابجایی \dot{Q}_{conv} و انتقال گرمای کلی \dot{Q} (مجموع آهنگ‌های انتقال گرمای تبخیری و جابجایی) به عنوان تابعی از حجم برج از بالا تا پایین برج محاسبه می‌شوند که در شکل‌های ۷ تا ۹ آمده است. شکل ۷ نشان می‌دهد که آهنگ کلی انتقال گرما در قسمت‌های بالای بیشتر بوده و با سقوط آب از بالا به پایین برج برای نسبت دبی‌های جرمی $1 < \dot{m}_w / \dot{m}_a < 1$ این آهنگ کاهش می‌یابد.

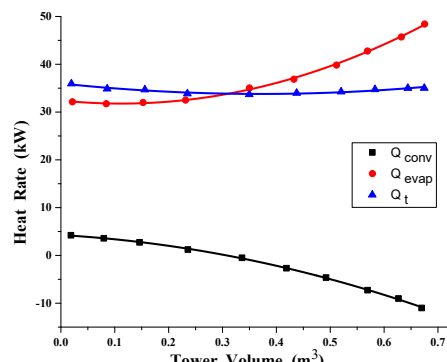
$$\dot{Q}_{conv} = \int h_c A_V (T_w - T_a) dV \quad (30)$$

$$\dot{Q}_{evap} = \int h_d A_V (\omega_s - \omega) h_{fg} dV \quad (31)$$



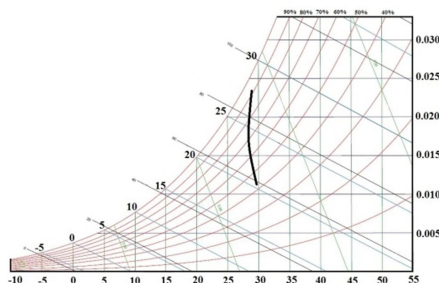
شکل ۷- تغییر آهنگ‌های انتقال گرما با حجم برج (نسبت دبی ۰/۵)

شکل‌های ۸ و ۹ نشان می‌دهند که آهنگ کلی انتقال گرما برای $\dot{m}_w / \dot{m}_a \geq 1$ از بالا به پایین برج افزایش می‌یابد و با مکانیزم غالب انتقال گرمای تبخیری کنترل می‌شود.

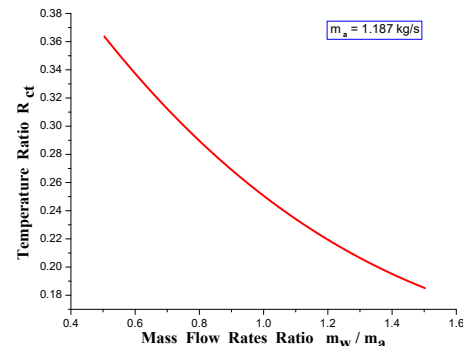


شکل ۸- تغییر آهنگ‌های انتقال گرما با حجم برج (نسبت دبی ۱)

گذارد. دمای خشک هوا نیز با افزایش ارتفاع، کاهش می‌یابد.



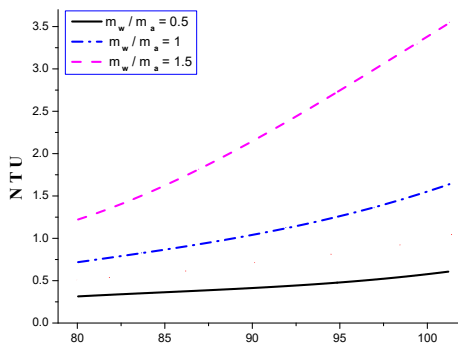
شکل ۱۴ - منحنی فرآیند سرمایش آب در برج (نسبت دبی ۱/۵)



شکل ۱۱ - تغییرات نسبت دمای برج با نسبت دبی های جرمی مختلف

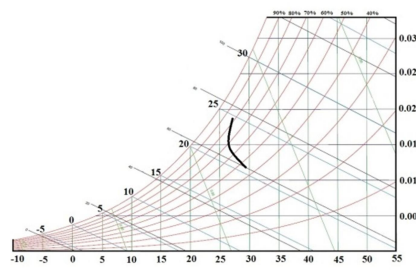
۱-۲-۴- تعداد واحدهای انتقال NTU

منحنی تعداد واحدهای انتقال برج خنک کن بر مبنای کاهش فشار جوی در شکل ۱۵ آمده است. این شکل نشان می‌دهد که با کاهش حدود ۲۱ کیلوپاسکال در فشار جوی برای رسیدن به دمای آب خروجی یکسان، NTU برج خنک کن با تواند برای نسبت دبی جرمی ۱ تقریباً ۱/۱ کاهش یابد که با کاهش 40°C مترمکعب در حجم برج همراه است. افزایش ارتفاع از سطح دریا سبب کاهش حجم مورد نیاز برج می‌گردد که ناشی از کاهش دمای خشک و تر هوا می‌باشد. هوای سردتر، بهتر می‌تواند آب را خنک کرده و بنابراین برای یک بازه پیکسان کاهش دمای آب، حجم کمتری مورد نیاز است. با کاهش فشار جوی، میزان ω -افزایش یافته و حجم برج خنک کن کاهش می‌یابد (معادله ۲). با افزایش مقدار نسبت دبی جرمی، حجم مورد نیاز برای سرمایش آب به دلیل نیاز به زمان گذر بیشتر، افزایش می‌یابد.



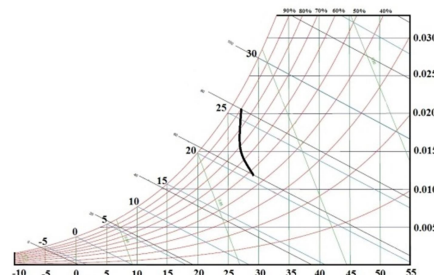
شکل ۱۵ - تغییرات NTU (حجم مورد نیاز) با فشار جوی

در نسبت دبی جرمی ۱/۵ تعداد واحدهای انتقال با افزایش فشار جوی به تدریج افزایش می‌یابد. در شکل ۱۶ نسبت فشار نشان دهنده نسبت فشار متغیر مورد بررسی به فشار مبنا 10 kPa کیلوپاسکال بوده و V_{atm} بیانگر حجم برج در آن فشار متغیر مورد بررسی و V_{atm} بیانگر حجم برج در فشار مبنا است. طبق شکل، در آب و هوای مرطوب با افزایش نسبت دبی جرمی، حجم برج به شدت افزایش می‌یابد. میزان درصد کاهش حجم مورد نیاز، با کاهش نسبت دبی جرمی، کاهش می‌یابد. افزایش میزان نسبت دبی جرمی سبب تغییرات بیشتر در نسبت رطوبت شده و در نتیجه افزایش بیشتر حجم مورد نیاز برج را به دنبال دارد.



شکل ۱۲ - منحنی فرآیند سرمایش آب در برج (نسبت دبی ۰/۵)

شکل‌های ۱۴ تا ۱۶ به نمایش در آمده است. دمای خشک هوا در خروج از برج همواره از دمای ورودی برای شرایط مورد بررسی کمتر است. رطوبت نسبی و مخصوص هوا هنگام حرکت از پایین به بالای برج، افزایش می‌یابد. نتیجه این پدیده، خنک شدن هوا همراه با آب در برج به دلیل تبخیر آب است چون تبخیر آب، نیاز به گرفتن گرمای از هر دو سیال آب و هوا دارد.

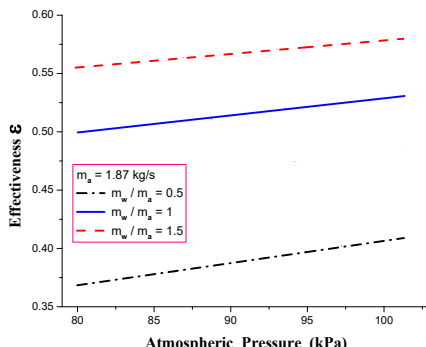


شکل ۱۳ - منحنی فرآیند سرمایش آب در برج (نسبت دبی ۱) با توجه به دلایل ذکر شده، هم برای آب و هم برای هوا، سرمایش مشاهده شد.

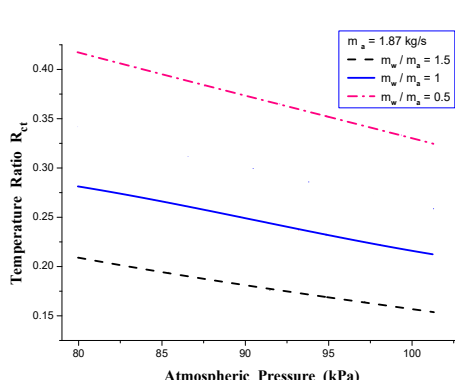
۲-۴- تأثیر تغییر فشار جوی

مقدارهای متفاوت نسبت دبی جرمی آب به هوا $0/5$ و $1/5$ با توجه به ثابت نگهداشتند دبی جرمی هوا مورد بررسی قرار گرفت. سادرلنند اعتقاد داشت که با افزایش 85°C متری در ارتفاع، کاهشی به میزان تقریبی 10 kPa کیلوپاسکال در فشار جوی ایجاد می‌گردد [۲]. تغییر ناشی از تغییرات ارتفاع در فشار اتمسفر، مشخصه‌های عملکردی برج خنک کن را تحت تأثیر قرار می‌دهد زیرا به طور مستقیم روی دمای تر هوای اثر می‌گذارد. خان و همکاران [۲۸] نشان دادند که تغییرات در دمای تر هوای مرطوب تأثیر چشمگیری بر عملکرد گرمای برج می

های عملکردی برج خنک کن دریابی تبخیری جریان مخالف به صورت عددی بررسی و با داده های آزمایشگاهی اعتبارسنجی گردید. با افزایش نسبت دبی جرمی، حجم بیشتری از برج برای کاهش دمای آب تا یک مقدار معین نیاز است. حجمی از برج که برای کاهش دمای خشک هوا و ورودی تا دمای آب (جابجایی منفی) لازم است، افزایش می یابد.

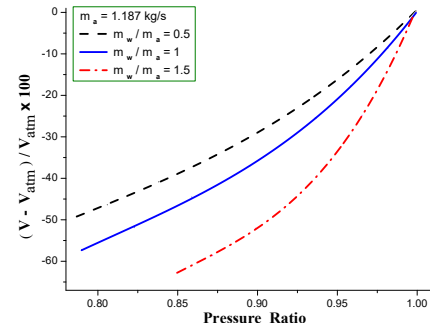


شکل ۱۸- تغییرات ضریب اثر برج خنک کن با فشار جوی



شکل ۱۹- تغییرات نسبت دمای برج خنک کن با فشار جوی

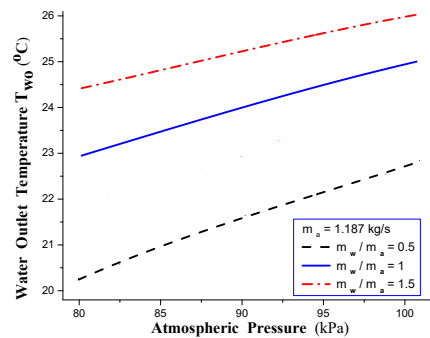
آنچه کلی انتقال گرما برای نسبت دبی های جرمی کمتر از یک با افزایش حجم برج، کاهش می یابند. آنچه کلی انتقال گرما برای دبی های جرمی بزرگ تر از یک، از قسمت بالا به پایین برج افزایش می یابد و با مکانیزم غالب انتقال گرما تبخیری کنترل می شود. آنچه انتقال گرمای جابجایی با کاهش نسبت دبی جرمی، کاهش می یابد. انتقال گرمای جابجایی درصد بالایی از انتقال گرمای کلی را برای نسبت دبی های جرمی کمتر از یک، به ویژه در ناحیه انتقال گرمای جابجایی منفی (انتقال گرما از هوا به آب) در بر می گیرد. مولفه انتقال گرما ناشی از تبخیر همواره مثبت بوده و برای نسبت دبی های جرمی کمتر، مقدار آن افزایش می یابد. دمای خشک هوا در خروج از برج همواره از دمای ورودی برای گستره شرایط مورد بررسی در این مقاله کمتر است. رطوبت نسبی و مخصوص هوا هنگام حرکت هوا از پایین به بالای برج افزایش می یابد که خنک شدن هوا همراه با آب در برج با تبخیر آب را در پی دارد. افزایش ارتفاع از سطح دریا سبب کاهش حجم مورد نیاز برج می گردد که ناشی از کاهش دمای خشک و تر هوا است. با افزایش مقدار نسبت دبی جرمی، حجم مورد نیاز برای سرمایش آب افزایش می یابد. در آب و هوا مرطوب با افزایش نسبت دبی جرمی، حجم



شکل ۲۰- درصد کاهش حجم مورد نیاز با نسبت فشار

۲-۲-۴- دمای آب خروجی

دمای آب خروجی از برج با افزایش فشار جوی روندی صعودی را دنبال می کند (شکل ۲۱). با کاهش فشار محیط، دمای تر هوا و ورودی کاهش می یابد که افزایش پتانسیل تبخیر را به همراه دارد. این موضوع سبب افزایش توانایی برج به منظور خنک نمودن آب می گردد.



شکل ۲۱- تغییرات دمای آب خروجی از برج خنک کن با فشار جوی

برای مثال، کاهش فشار با افزایش نسبت دبی جرمی جبران می شود. دمای آب خروجی از برج با کاهش ۲۱ کیلوپاسکال در فشار محیط در نسبت دبی جرمی $0/5$ در حدود 20°C کاهش می یابد که این کاهش دمای آب خروجی برای نسبت دبی های جرمی بزرگ تر، کمتر است. در حالت کلی، با افزایش دبی جرمی آب دمای آب خروجی افزایش و با کاهش فشار محیط، کاهش می یابد. با تغییر نسبت دبی جرمی می توان اثر تغییرات فشار محیط را بر دمای آب خروجی کنترل نمود.

۳-۲-۴- ضریب اثر و نسبت دما

با کاهش حدود ۲۱ کیلوپاسکال فشار محیط (شکل ۱۸)، ضریب اثر برج برای نسبت دبی جرمی $0/5$ حدود 0.08 کاهش می یابد. این نسبت دمای برج با افزایش نسبت دبی جرمی نامحسوس تر می شود. نسبت دمای برج با افزایش فشار محیط، کاهش یافته (شکل ۱۹) و با افزایش نسبت دبی جرمی، این کاهش با سرعت کمتری رخ خواهد داد.

۵- نتیجه گیری

در این مقاله، اثر پارامتر نسبت دبی جرمی آب به هوا بر مشخصه

- [5] Camargo J. R. and Ebinuma C. D., A mathematical model for direct and indirect evaporative cooling air conditioning systems, *Proc. of the 9th Brazilian cong. of thermal eng. and sci.*, 2002.
- [6] Hawlader M. N. A. and Lui B. M., Numerical study of the thermal-hydraulic performance of evaporative natural draft cooling towers, *Applied Thermal Engineering*, Vol.22, pp.41-59, 2002.
- [7] Fisenko S. P., Petruchik A. I. and Solodukhin A. D., Evaporative cooling of water in a natural draft cooling tower, *Journal of Heat and Mass Transfer*, Vol.45, pp.4683-4694, 2002.
- [8] Fisenko S. P., Brin, A. A. and Petruchik A. I., Evaporative cooling of water in a mechanical draft cooling tower, *International Journal of Heat and Mass Transfer*, Vol.47, pp.165-177, 2004.
- [9] Qureshi B. A. Zubair, S. M., A complete model of wet cooling towers with fouling in fills, *Applied Thermal Engineering*, Vol.26, pp.1982-1989, 2006.
- [10] Walters W., Masters A., Vinci B. and Summerfelt S., Design, loading, and water quality in recirculating systems for Atlantic Salmon (*Salmo salar*) at the USDA ARS National Cold Water Marine Aquaculture Center (Franklin, Maine), *Aquacultural Engineering*, Vol.41, pp.60-70, 2009.
- [11] Herraiz L., Hogg D., Cooper J., Gibbins J. and Lucquiaud M., Reducing water usage with rotary regenerative gas/gas heat exchangers in natural gas-fired power plants with post-combustion carbon capture, *Energy*, Vol.90, pp.1994-2005, 2015.
- [12] Kim B. K. and Jeong Y. H., High cooling water temperature effects on design and operational safety of NPPS in the gulf region, *Nuclear Eng. & Tech.*, Vol.45, No.7, pp.962-968, 2013.
- [13] Qi X. and Liu Y., Performance prediction of seawater shower cooling towers, *Energy*, Vol.97, pp.435-443, 2016.
- [14] Koeman N., Creusena R., Zijlstra M., Groot C. and Broek W., Membrane distillation of industrial cooling tower blowdown water, *Water Resources and Industry*, Vol.14, pp.11-17, 2016.
- [15] Qiu D., Cao L., Wang Q., Hou F. and Wang X., Experimental and numerical study of 3D stacked dies under forced air cooling *Microelectronics Reliability*, Vol.74, pp.34-43, 2017.
- [16] Ebrahimi M. and Mahmoodi M., “Numerical simulation of lewi's factor effect on characteristic performance of a counter-flow wet cooling tower”, *Sharif Mechanical Engineering Journal*, Vol.30-3, Issue.2.2, pp.39-49, 2014 (In persian).
- [17] Li H. W., Duan W. B., Wang S., Zhang X., Sun B. and Hong W. P., Numerical simulation study on different spray rates of three-area water distribution in wet cooling tower of fossil-fuel power station, *Applied Thermal Engineering*, Accepted Manuscript, 2017.
- [18] Mahmoodi M. and Ebrahimi M., Numerical simulation of counter-flow wet cooling tower and water losses effect on characteristic performance, *Aerospace Mechanics Journal*, Vol.12, No.3, pp.23-34, 2016 (In persian).
- [19] Mahmoodi M., Shademani R. and Gorji-Bandpy M., Numerical investigation of heat transfer characteristics in counter-flow seawater cooling tower, *International Conference on Science and Engineering*, Paris, France, December 2016 (In persian).
- [20] Qi X., Liu Y., Guo Q., Yu J. and Yu S., Performance prediction of seawater cooling towers, *Energy*, Vol.97, pp.435-443, 2016.
- [21] Laws J. O., Measurement of the fall velocity of water drops and rain drops, *22nd Annual meeting in Trans. Of the American Geophysical Union*, pp.709-721, 1941.
- [22] Kloppers J. and Kroger D., The Lewis factor and its influence on the performance prediction of wet-cooling towers, *Thermal Science*, Vol.44, pp.879-884, 2005.
- [23] Gilliland E., Diffusion coefficients in gaseous systems, *Industrial & Engineering Chemistry*, Vol.26, pp. 681-685, 1934.
- [24] Marschall W. and Ranz D., Evaporation from Drops, *Chem. Eng. Prog.*, Vol.48, pp.4, 1952.
- [25] Clift R., Grace J. R. and Weber M. E., *Bubbles, drops and particles*, Vol.3, Academic Press, New York, 1978.
- [26] Kroger, D., *Air-cooled heat exchangers and cooling towers: thermal-flow performance evaluation*, Vol.1, Pennwell Corp, 2003.
- [27] Turton R., A short note on the drag correlation for spheres, *Analytical Toxicology Journal*, Vol.47, pp.83-86, 1986.
- [28] Khan J. R., Qureshi B. A. and Zubair S. M., A comprehensive design and performance evaluation study of counter-flow wet cooling towers, *Refrigeration*, Vol.27, pp.914-923, 2004.
- [29] Dai Y. J. and Sumathy K., Theoretical study on a cross-flow direct evaporative cooler using honeycomb paper as packing material, *Applied Thermal Engineering*, pp.1417-1443, 2002.

برج به شدت افزایش می‌یابد. دمای آب خروجی از برج با افزایش فشار جوی، افزایش می‌یابد. دمای آب خروجی با افزایش دبی جرمی آب، افزایش و با کاهش فشار محیط، کاهش می‌یابد.
ضریب اثر برج خنک کن با افزایش نسبت دبی جرمی افزایش یافت ولی آهنگ تغییر آن (شیب) کاهش می‌یابد. با افزایش فشار محیط ضریب اثر برج افزایش می‌یابد. نسبت دمای برج با افزایش نسبت دبی جرمی کاهش یافت. با افزایش فشار محیط نسبت دمای برج کاهش می‌یابد و با کاهش نسبت دبی جرمی، این کاهش با سرعت بیشتری رخ می‌دهد.

۵- فهرست علایم

مساحت (m ²)	A
گرمای ویژه هوا (J.kg ⁻¹ .°C ⁻¹)	c _p
ضریب پخش بخار آب (kg.m ⁻¹ .s ⁻¹)	D
قطر (mm)	d
سرعت جرمی (kg.m ⁻² .s ⁻¹)	G
ارتفاع (m)	H
آنالپی (kJ.kg ⁻¹)	h
ضریب انتقال گرمای جابجایی (kJ.m ⁻² .°C ⁻¹ .s ⁻¹)	h _c
ضریب انتقال جرم (kg _w .m ⁻² .s ⁻¹)	h _D
آنالپی مخصوص بخار آب اشباع (kJ.kg ⁻¹)	h _v ⁰
دبی جرمی جریان (kg.s ⁻¹)	\dot{m}
فشار (kg.s ⁻² .m ⁻¹)	P
دما (°C)	T
سرعت (m.s ⁻¹)	v
حجم برج (m ³)	V
جهت افقی (شعاعی) (m)	x
جهت محوری (m)	z
چگالی (kg.m ⁻³)	ρ
لرحت سینماتیکی (m ² .s ⁻¹)	u
ضریب اثر (بدون بعد)	ϵ
نسبت رطوبت (kg _w .kg _a ⁻¹)	ω

زیرنویس

اشبع هوا	s	قطره	d	هوا	a
بر واحد حجم برج	V	هوای مرطوب	w	آب	w

۷- مراجع

- [1] ASHRAE HVAC system and equipment, chap.36: cooling tower. American Society of Heating, Refrigerating and Air Conditioning Engineers, Atlanta, GA, USA, 2016.
- [2] Sutherland J., Analysis of mechanical draught counter-flow air-water cool towers. *Heat Transfer*, Vol.105, pp.576-583, 1983.
- [3] Qureshi B. A., *Design, rating & exergy analysis of evaporative heat exchangers*, MSc. Thesis, King Fahd university of petroleum and mineral, Dhahran, Saudi Arabia, 2004.
- [4] Simpson W. M. and Sherwood T.K., Performance of small mechanical draft cooling towers, *Refrigerating engineering*, Vol.52, No.6, pp.525-543, 574-576, 1946.